

**A gauge invariant mechanism of
color confinement in QCD
due to monopoles coming from violation of
non-Abelian Bianchi identity**

鈴木恒雄 (大阪大学 RCNP): (連絡先: tsuneo@rcnp.osaka-u.ac.jp)

基研研究会「格子上の場の理論と連続空間上の場の理論」 2022/07/20

1. 双対マイスナー効果によるQCDにおけるカラーの閉じ込め

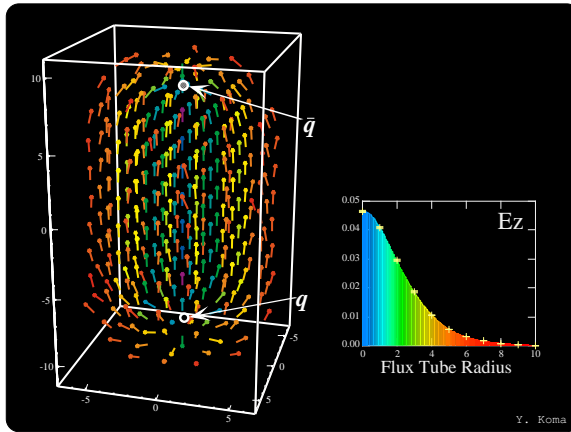


Figure 1: electric flux

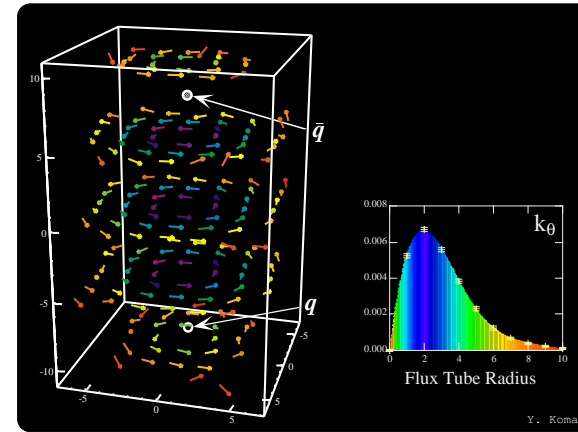
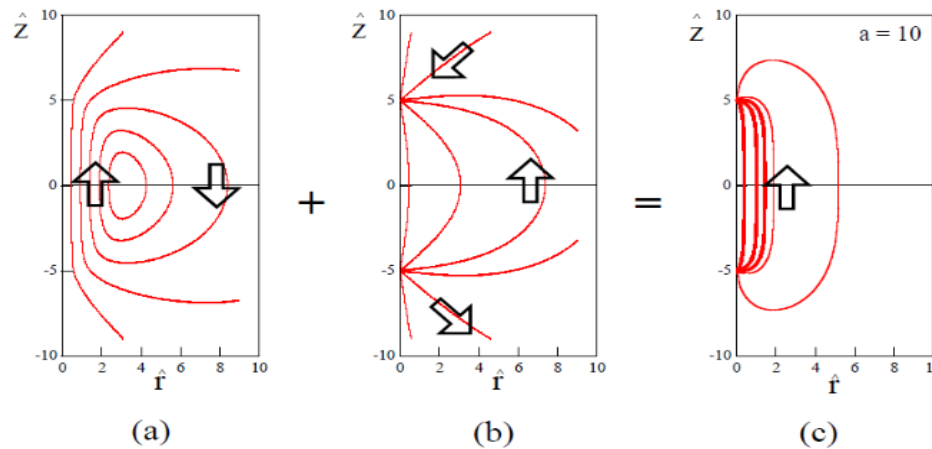


Figure 2: solenoidal magnetic current

• Profile of electric field in r - z plane



Sum of (a) solenoidal and (b) Coulombic electric fields creates (c) a flux tube.

Figure 3: The dual Meissner effect

QCDは、カラー電荷を持った粒子のみから構成されるSU3非可換ゲージ理論



QCDでのカラー磁荷を持ったモノポールはなにか？

アーベリアン射影('tHooft '81): $SU3 \rightarrow U1 \times U1$

しかしこの考え方は、真実とは言えない。なぜなら、
1. 射影の仕方への依存性、2. 正しくない反例(Polyakov gauge)、3. $U1^2$ の電場のみしか絞れない。SU3カラーの閉じ込めにはなっていない。

このような欠点のないモノポールがQCDに存在できる可能性
(T.Suzuki, arXiv:1402.1294, T.Suzuki et al., P.R.D97(2018)034501)

2. QCDにおけるDiracタイプの8個のAbelian磁気モノポール

1. $D_\mu \equiv \partial_\mu - igA_\mu$ に対する Jacobi 恒等式 : $\epsilon_{\mu\nu\rho\sigma} [D_\nu, [D_\rho, D_\sigma]] = 0$
2. $[D_\rho, D_\sigma] = -ig(\partial_\rho A_\sigma - \partial_\sigma A_\rho - ig[A_\rho, A_\sigma]) + [\partial_\rho, \partial_\sigma] = -igG_{\rho\sigma} + [\partial_\rho, \partial_\sigma]$
3. $[D_\nu, G_{\rho\sigma}] = D_\nu G_{\rho\sigma}$

⇓

1. $[\partial_\rho, \partial_\sigma] = 0 \rightarrow D_\nu G_{\mu\nu}^* = 0$: Non-Abelian Bianchi identity (NABI):
2. $[\partial_\rho, \partial_\sigma] \neq 0 \rightarrow$
 $J_\mu = D_\nu G_{\mu\nu}^* = -\frac{i}{2g}\epsilon_{\mu\nu\rho\sigma} [D_\nu, [\partial_\rho, \partial_\sigma]] = \frac{1}{2}\epsilon_{\mu\nu\rho\sigma} [\partial_\rho, \partial_\sigma] A_\nu = \partial_\nu f_{\mu\nu}^* = k_\mu$

ここで、 $f_{\mu\nu} \equiv \partial_\mu A_\nu - \partial_\nu A_\mu = (\partial_\mu A_\nu^a - \partial_\nu A_\mu^a)\lambda^a/2$.

$$J_\mu = \sum_a J_\mu^a \frac{\lambda^a}{2} = k_\mu = \sum_{a=1}^8 k_\mu^a \frac{\lambda^a}{2}, \quad \text{可換保存則 : } \partial_\mu k_\mu^a = 0$$

3. 新しいカラーの閉じ込め機構

仮定：SU3非可換ゲージ理論のゲージ場は、もともと non-Abelian Bianchi 恒等式を満たしておらず、Dirac型の singularity を持っている。その結果生じる8個のAbelian保存則を満たすモノポールがQCDの低温相では、真空中に凝縮する。



カラーの閉じ込め

SU2を例にとって説明しよう。SU(2): $V(x) = e^{i\alpha_i(x)\sigma_i}$

SU2の部分群の $U(1)_3$: $e^{i\alpha_3(x)\sigma_3} \in SU(2)$ を考える。Quark doublet (u_3, d_3) はこの $U(1)_3$ に関して、 $\pm g/2$ の電荷を持つ。ここで、 $k_\mu^3(x)$ が真空中に凝縮すると、 $U(1)_3$ に関する電荷をもつQuarkなどのすべての状態は、閉じ込められる。しかし、tripletの一部、 $\bar{\mathbf{u}}_3\mathbf{u}_3 - \bar{\mathbf{d}}_3\mathbf{d}_3$ は、 $k_\mu^3(x)$ が真空中に凝縮しても閉じ込められない。

しかし、3個の保存する Abelian monopole と対応する U_1 がある。例えば、 $U_1 : e^{i\alpha_1(x)\sigma_1}$ を考える。すると、 U_1 に対して電荷 $\pm g/2$ を持つ doublet を (u_1, d_1) と書くと、これは、 (u_3, d_3) で表すと $(\frac{u_3+d_3}{\sqrt{2}}, \frac{u_3-d_3}{\sqrt{2}})$ と書かれる。

上記の U_3 に対して中性であった状態は、 $\bar{u}_3 u_3 - \bar{d}_3 d_3 = \bar{u}_1 d_1 + \bar{d}_1 u_1$. と書け、 U_1 では、電荷 $\pm g$ を持つ混合状態となり、閉じ込められる。

すべての (U_1, U_2, U_3) に関する電場が、 k^a ($a = 1, 2, 3$) が凝縮すると絞られるので、外部に出てこれる物理的な状態は、すべての U_1 部分群に対して singlet となる SU2 singlet のみ

SU3 では、8個の可換モノポールが真空中に凝縮すると、SU3 singlet のみが、物理的な状態となる。

4. 新しい閉じ込め機構の格子QCDのモンテ・カルロ計算による検証（1）

Pure SU2 QCD, SU3 QCDで、一切の追加的な仮定なしに、Abelian Monopoleによる双対マイスナー効果から期待される以下の3点が調べられ、SU2では、非常にきれいに、またSU3でも大変有望な結果が得られた。

1. **(Perfect Abelian dominance)** :通常 $Q - \bar{Q}$ 間の静的なポテンシャルの弦定数 σ_F は、8個のAbelianの静的ポテンシャルの弦定数の平均と解釈される。追加の近似がないときは、8個のカラーに関する対称性があるので、8個のカラーの静的ポテンシャルの弦定数は、等価である。したがってどのカラー成分のAbelian弦定数 σ_a と $\sigma_F = \sigma_a$ が成立する。
2. **(Perfect monopole dominance)** :Abelianの静的ポテンシャルは、カラー電場に関するクーロン部分とソレノイド型のモノポールによる電場の和でかけ、線形ポテンシャル部分は、ソレノイド型のモノポールのみから生じる。したがってすべてのカラー成分に対して、 $\sigma_F = \sigma_m$ が言える。
3. **(The dual Ampère's law and Ginzburg-Landau parameter)** すべての成分のAbelianカラー電場は、対応するモノポールによるソレノイド型磁流で絞られる。双対アンペール則が成立する。GLパラメーターを測定することで、モノポール凝縮相での真空のタイプが決められる。

(1) 格子上での定式化

1. $a \rightarrow 0$ でゲージ場となる格子上での Abelian link fields の定義は、アーベリアン射影の立場でうまくいった定義と一致する以下の定義を採用した。

$R = \sum \text{Re Tr } e^{i\theta_1(s,\mu)\lambda_1} U^\dagger(s, \mu)$ を最大化する。

$$\theta_1(s, \mu) = \tan^{-1} \frac{U_1(s, \mu)}{U_0(s, \mu)}, (SU2), \tan^{-1} \frac{\text{Im}(U_{12}(s, \mu) + U_{21}(s, \mu))}{\text{Re}(U_{11}(s, \mu) + U_{22}(s, \mu))}, (SU3)$$

2. the Dirac quantization condition を満たすモノポールの定義：

$$\theta_1(s, \mu\nu) = \partial_\mu \theta_1(s, \nu) - \partial_\nu \theta_1(s, \mu),$$

$$\theta_1(s, \mu\nu) = \bar{\theta}_1(s, \mu\nu) + 2\pi n_1(s, \mu\nu) \quad (|\bar{\theta}_1(s, \mu\nu)| < \pi)$$

$n_1(s, \mu\nu)$ は、モノポールから生じる the Dirac string の本数と解釈できる。
(DeGrand-Toussaint の定義)

$$k_\mu^1(s) = -(1/2)\epsilon_{\mu\alpha\beta\gamma}\partial_\alpha\bar{\theta}_1(s + \hat{\mu}, \beta\gamma) = (1/2)\epsilon_{\mu\alpha\beta\gamma}\partial_\alpha n_1(s + \hat{\mu}, \beta\gamma)$$

これは、保存則 $\epsilon_{\mu\alpha\beta\gamma}\partial_\alpha\theta_1(s + \hat{\mu}, \beta\gamma) = 0$ を満たす。このような連続理論で生じる singularity に対応する量を格子上で定義できることが、重要。

$$\frac{g_m \vec{r}}{4\pi r^3} = \vec{\nabla} \times \vec{A} + g_m \delta(x)\delta(y)\theta(z)\vec{e}_z, \quad \theta_{\mu\nu} = ea^2 f_{\mu\nu}, \quad a^2 f_{\mu\nu} = g_m$$

(2) Polyakov-loop の相関による静的ポテンシャルの測定

$$V(R) = -\frac{1}{aN_t} \ln \langle P(0)P^*(R) \rangle .$$

$$P_F = \text{Tr} \Pi_{k=0}^{N_t-1} U(s + k\hat{4}, 4) ,$$

$$P_A = \exp\left[i \sum_{k=0}^{N_t-1} \theta_1(s + k\hat{4}, 4)\right] = P_{\text{ph}} \cdot P_{\text{mon}} ,$$

$$P_{\text{ph}} = \exp\left\{-i \sum_{k=0}^{N_t-1} \sum_{s'} D(s + k\hat{4} - s') \partial'_\nu \bar{\Theta}_1(s', \nu 4)\right\} ,$$

$$P_{\text{mon}} = \exp\left\{-2\pi i \sum_{k=0}^{N_t-1} \sum_{s'} D(s + k\hat{4} - s') \partial'_\nu n_1(s', \nu 4)\right\}$$

(3) Perfect Abelian dominance は、大幅に誤差を減らせる Lüscher's multilevel 法を利用

Table 1: Simulation parameters (SU3): N_{sub} : the sublattice size, N_{iup} : internal updates 数

β	$N_s^3 \times N_t$	$a(\beta)$ [fm]	N_{conf}	N_{sub}	N_{iup}
5.60	$16^3 \times 16$	0.2235	6	2	10000000
5.70	$12^3 \times 12$	0.17016	6	2	5000000
5.80	$12^3 \times 12$	0.13642	6	3	5000000

Table 2: 弦定数 σa^2 , Coulombic 係数 c , 定数項 μa .

$\beta = 5.6, 16^3 \times 12$	σa^2	c	μa
V_{NA}	0.239(2)	-0.39(4)	0.79(2)
V_{A}	0.25(2)	-0.3(1)	2.6(1)
$\beta = 5.7, 12^3 \times 12$			
V_{NA}	0.159(3)	-0.272(8)	0.79(1)
V_{A}	0.145(9)	-0.32(2)	2.64(3)
$\beta = 5.8, 12^3 \times 12$			
V_{NA}	0.101(3)	-0.28(1)	0.82(1)
V_{A}	0.102(9)	-0.27(2)	2.60(3)

(4) Perfect monopole dominance:

Lüscher's multilevel 法は、適用不可。 $\langle P_{\text{mon}} P_{\text{mon}}^* \rangle$ を計算するには、非常にたくさんの真空配位を必要とする。

Table 3: 測定パラメーター例. N_{RGT} : random gauge 変換数

	β	$N_s^3 \times N_t$	$a(\beta)$ [fm]	N_{conf}	N_{RGT}
<i>SU2</i>	2.43	$24^3 \times 8$	0.1029(4)	7,000	4,000
<i>SU3</i>	5.6	$24^3 \times 4$	0.2235	910000	400

Table 4: Best fitted values of the string tension σa^2 , the Coulombic coefficient c , and the constant μa .

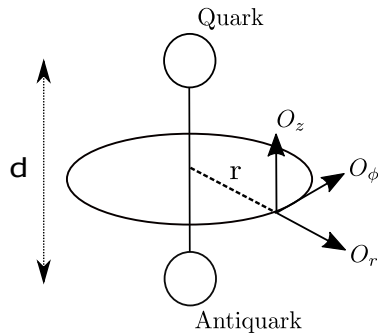
<i>SU(3)</i> ($24^3 \times 4$)					
	σa^2	c	μa	FR(R/a)	χ^2/N_{df}
V_{NA}	0.178(1)	0.86(4)	0.99(1)	5 - 9	1.23
V_{A}	0.16(3)	0.9(11)	2.5(3)	5 - 9	1.03
V_{mon}	0.17(2)		2.9(1)	4 - 7	1.08
V_{ph}	-0.0007(1)	0.046(3)	0.945(1)	3 - 10	7.22e-08
<i>SU(2)</i> ($24^3 \times 8$)					
V_{NA}	0.0415(9)	0.47(2)	0.46(8)	4.1 - 7.8	0.99
V_{A}	0.041(2)	0.47(6)	1.10(3)	4.5 - 8.5	1.00
V_{mon}	0.043(3)	0.37(4)	1.39(2)	2.1 - 7.5	0.99
V_{ph}	$-6.0(3) \times 10^{-5}$	0.0059(3)	0.46649(6)	7.7 - 11.5	1.02

(5) Abelian dual Meissner 効果の測定

Table 5: 測定のパラメーター： E_i^a and k^2 (Left). $\nabla \times \vec{E}$, $\partial_4 \vec{B}$, k_i^a (Right).
 id は Polyakov loops 間距離. Nconf, Nran、Ns : 真空数, random gauge 変換数、smearing 数

E_i^a			
id	Nconf	Nran	Ns
d=5	80000	100	120
d=6	80000	100	120
k^2			
id	Nconf	Nran	Ns
d=5	960000	0	120
d=6	960000	0	120

双対 Ampère's 則			
id	Nconf	Nran	Ns
d=3	20000	100	90
k_ϕ^a			
d=3	11200	3000	90



$$\rho_{conn}(O(r)) = \frac{\langle \text{Tr}(P(0)LO(r)L^\dagger)\text{Tr}P^\dagger(d) \rangle}{\langle \text{Tr}P(0)\text{Tr}P^\dagger(d) \rangle} - \frac{1}{3} \frac{\langle \text{Tr}P(0)\text{Tr}P^\dagger(d)\text{Tr}O(r) \rangle}{\langle \text{Tr}P(0)\text{Tr}P^\dagger(d) \rangle},$$

Figure 4: Abelian 電荷分布 for $d = 5$ at $\beta = 5.6$ on $24^3 \times 4$ 格子. (Left)、monopole 密度分布 at $d = 5$.(Right)

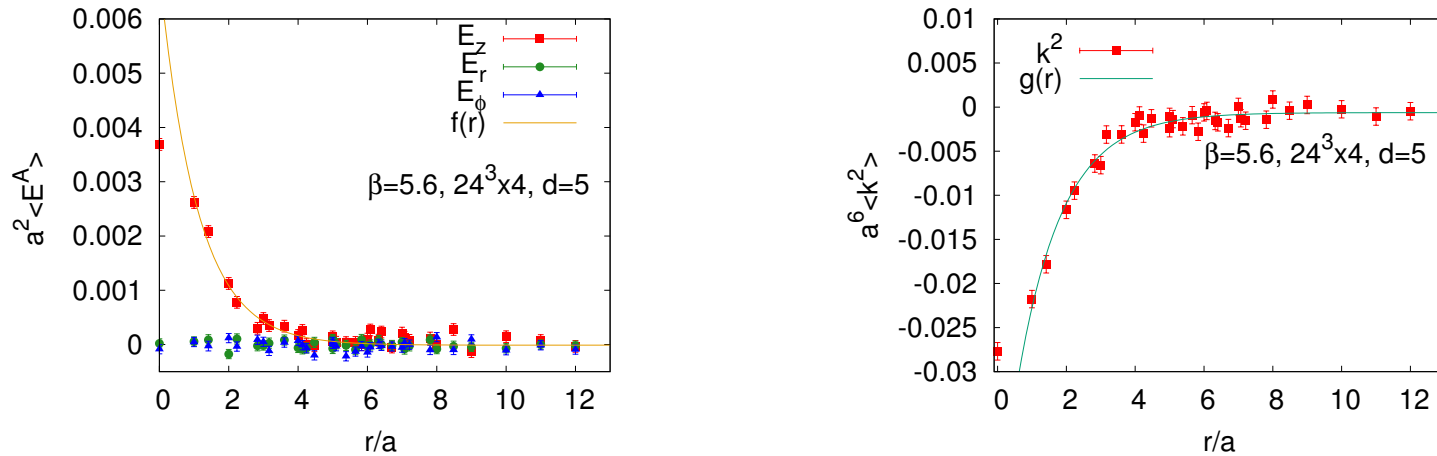
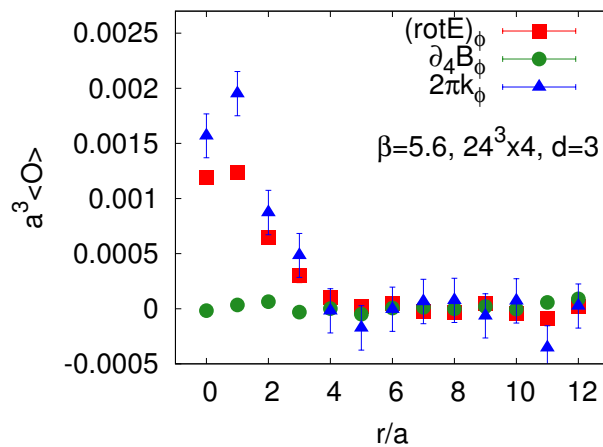


Figure 5: 双対 Ampère's 則 with $d = 3$ at $\beta = 5.6$ on $24^3 \times 4$ lattices. Ginzburg-Landau パラメーター $\kappa = \lambda/\xi$ (Right).



$ d $	$\sqrt{2}\kappa$
3	0.87(5)
4	0.93(7)
5	0.83(9)
6	0.9(2)

$SU(2)$: $\sqrt{2}\kappa \sim 1.1$

4. 新しい閉じ込め機構の格子QCDのモンテ・カルロ計算による検証 (2)

$k^a(s, \mu)$ は連続極限で、有限に存在するか？

pure SU2 and SU3 QCD で、モノポール密度の連続極限を調べる。

格子空間では、lattice artifact と呼ばれる非物理的なモノポールが含まれている。これらも、正定値の密度に寄与する。そのため、熱平衡状態の格子真空をなるべく lattice artifact が少ないものにしなければならない。

1. Tadpole improved (SU2) and Iwasaki (SU3) action:

48^4 at $\beta = 3.0 \sim 3.9$ in SU2 and at $\beta = 2.3 \sim 3.5$ in SU3

2. 種々の smooth な追加のゲージ固定の導入

1) Maximal center gauge (MCG): Maximization of $R = \sum_{s, \mu} (\text{Tr} U(s, \mu))^2$

SU(3) \rightarrow Z(3)

2) Maximal Abelian and $U(1)^2$ Landau gauge (MAU1)

3) Direct Laplacian center gauge (DLCG) only in SU2

4) Maximal Abelian Wilson loop gauge (AWL) only in SU2: Maximization of

$$R = \sum_{s, \mu \neq \nu} \sum_a (\cos(\theta_{\mu\nu}^a(s)))$$

3. モノポールの block-spin 変換による考察

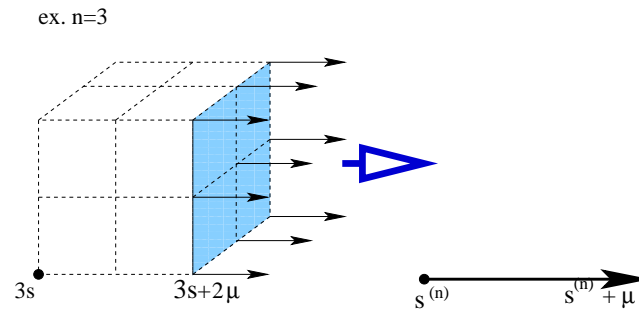


Figure 6: Blockspin definition of monopoles:

T.L. Ivanenko et al., Phys. Lett. **B252**, (1990) 631

$k_\mu(s)$ をもとの格子間隔 a での格子空間上のモノポールとすると格子間隔 $b = na$ での n -blocked モノポールは、以下で定義される：

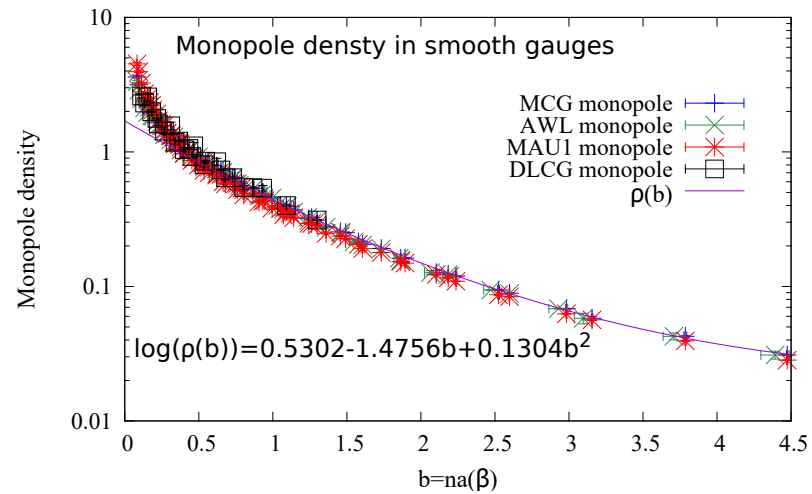
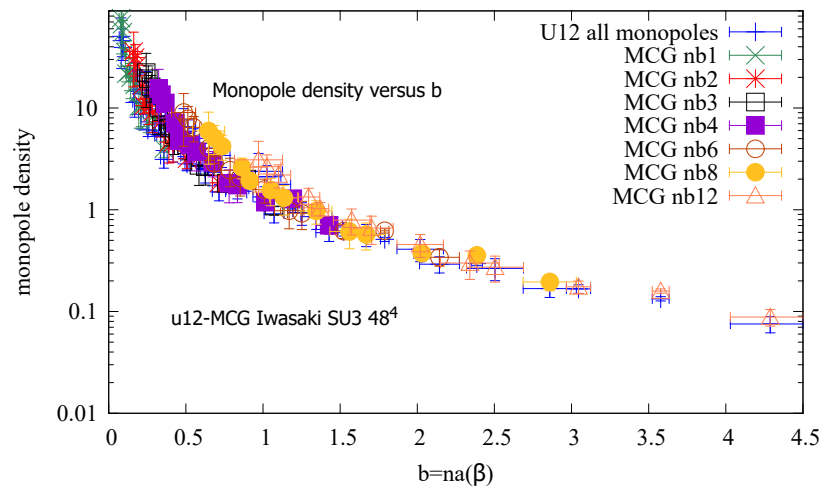
$$k_\mu^{(n)}(s_n) = \sum_{i,j,l=0}^{n-1} k_\mu(ns_n + (n-1)\hat{\mu} + i\hat{\nu} + j\hat{\rho} + l\hat{\sigma})$$

$n = 1, 2, 3, 4, 6, 8, 12$ blockings are adopted on 48^4 lattice.

n -blocked monopole の密度の測定:

$$\rho(a(\beta), n) = \frac{\sum_{\mu, s_n} \sqrt{\sum_a (k_{\mu}^{(n)a}(s_n))^2}}{4\sqrt{3}V_n b^3}$$

Figure 7: $b = na(\beta)$ に対しての SU3 での密度: MCG, MAU12 (左) と SU2 での密度: MCG, AWL, DLCG and MAU1 (右).



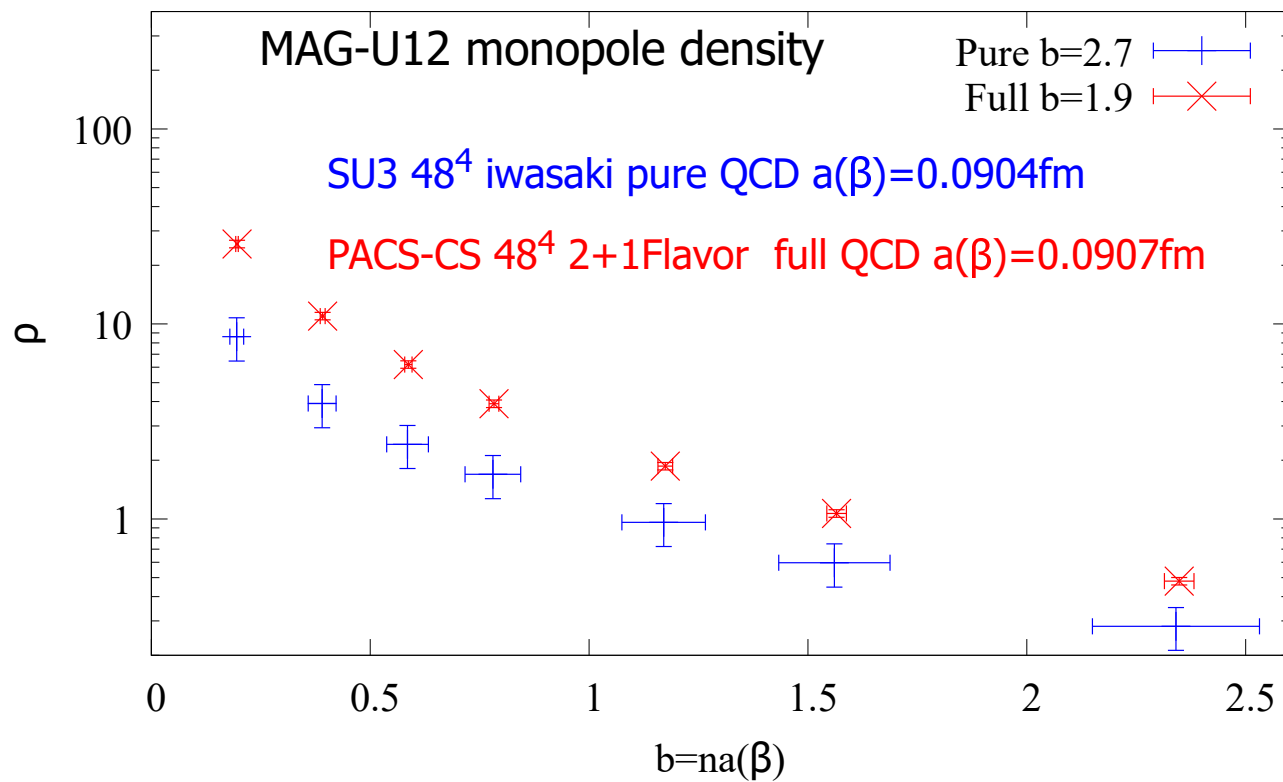
まとめ

1. 12段階の blockspin 変換と広範囲の β に対して、非常にきれいな連続極限を示す scaling 則が観測された。(SU2) $\beta = 3.0 \sim 3.9$ 、(SU3) $\beta = 2.3 \sim 3.5$. 密度 $\rho(a(\beta), n)$ は、 $b = na(\beta)$ のみの関数つまり $\rho(b)$. $n \rightarrow \infty$ とすると、一定の $b = na$ に対して、 $a(\beta) \rightarrow 0$ を意味する. つまり **連続極限の存在**
2. 追加的なゲージ固定法に依存しないように見える。(SU2) MCG, DLCG, AWL, MAU1 and in (SU3) MCG, MAU1 に対して、同じ $\rho(b)$ が得られた. **Gauge independence!** 連続極限では、当然である。
3. 同様のきれいな scaling 側が、**モノポール有効作用 $S(k_\mu^{(n)})$** に関して、SU2 では得られた。

上記の結果から、この Diarc 型の新しい Abelian モノポールは、連続極限を持っているようである。

6. 今後の課題

1. この新しいモノポールは、軽いクォークの含まれたfull SU3 QCDでも同様に存在するはずである。現実のfull QCDで調べることがとても重要である。



2. ハドロンなどの質量の重要な部分である質量ギャップを説明できるか？
3. 低エネルギー領域での閉じ込めを含む有効理論は、モノポール場を含む双対の Higgs 模型のかたちでかけるか？
4. カイラル対称性の破れの機構にモノポールは重要な役割をするか？
5. 有限温度相転移機構とモノポール
6. モノポール場に対応する新しい粒子の観測可能性
7. このようなゲージ場に含まれる singularity があるとするれば、そもそも、その起源はなにか？

References

- [1]. T. Suzuki et al, P.R. D80, 054504 (2009)
- [2]. C. Bonati et al., P.R. D81, 085022 (2019)
- [3]. T. Suzuki, K.Ishiguro, V.Bornyakov, P.R. D97, 034501, 099905(erratum) (2018)
- [4]. T. Suzuki, P.R. D97, 034509 (2018)
- [5]. K.Ishiguro et al., Monopoles of the Dirac type and color confinement in QCD - First results of $SU(3)$ numerical simulations without gauge fixing -, arXiv:2207.04436, to appear in P.R.D
- [6]. T. Suzuki, K. Ishiguro and A. Hiraguchi, Talks at LAT2021
- [7]. PACS-CS Collaboration: S. Aoki et al., P. R. D79 (2009), 0345503

Acknowledgements

This work is supported by the JLDG constructed over the SINET5 of NII. The author would like to thank JLDG project in using the full QCD configurations of Ref.[7].